

شاخص‌های کارایی تابعی مبتنی بر منطق فازی برای پروفایل خطی ساده

زینب عباسی گنجی

مرکز تحقیقات و آموزش کشاورزی و منابع طبیعی خراسان رضوی، سازمان تحقیقات، آموزش و

ترویج، مشهد، ایران

به یاد روانشاد دکتر بهرام صادقیپور گیلده

تاریخ پذیرش: ۱۳۹۹/۱۱/۱۳

تاریخ دریافت: ۱۳۹۹/۱/۱۰

چکیده

کیفیت فرایندهایی که بر اساس رابطه تابعی بین متغیر پاسخ و یک یا چند متغیر مستقل تعریف می‌شود، پروفایل نام دارد. اگر این رابطه به صورت تابع خطی از یک متغیر مستقل باشد، پروفایل خطی ساده نامیده می‌شود. در این مقاله، با استفاده از منطق فازی، دو شاخص کارایی تابعی برای پروفایل‌های خطی ساده پیشنهاد می‌شود و با استفاده از مطالعات شبیه‌سازی، عملکرد آن‌ها در مقایسه با شاخص‌های تابعی موجود مورد ارزیابی قرار می‌گیرد. نتایج نشان می‌دهند که شاخص‌های جدید در بیان کارایی فرایند بهتر از شاخص‌های موجود عمل می‌کنند. برای نشان‌دادن طرز استفاده از شاخص‌های جدید، مثال واقعی ارائه می‌شود.

۱ سرآغاز

شاخص‌های کارایی فرایند اعدادی هستند که نشان می‌دهند محصولات فرایند تا چه میزان با مشخصات تعیین‌شده توسط تولیدکنندگان یا مصرف‌کنندگان مطابقت دارد. در برخی

عبارات و کلمات کلیدی: شاخص‌های کارایی تابعی، اعداد فازی، پروفایل خطی ساده

Email(s): .

۱۴۰۰ انجمن سیستم‌های فازی ایران

Mathematics Subject Classification (2010): 62A86

شاخص‌های کارایی تابعی مبتنی بر منطق فازی برای پروفایل خطی ساده _____ ۲

فرایندها، کیفیت فرایند یا محصول با استفاده از رابطه تابعی بین متغیر پاسخ (وابسته) و یک یا چند متغیر مستقل (توضیحی) تعریف می‌شود. این رابطه، پروفایل نامیده می‌شود. پروفایل‌ها بر اساس توابع مختلف از جمله خطی و غیر خطی تعریف می‌شوند. تاکنون، بیشتر تحقیقات انجام شده بر روی پروفایل‌ها بر اساس پروفایل تابع خطی ساده بوده است. پروفایل خطی ساده یک پروفایل خطی با یک متغیر مستقل است.

تحقیقات زیادی در زمینه کارت‌های کنترل برای پروفایل‌های خطی ساده انجام شده است که برای مطالعه می‌توان به منابع مستک^۱ و همکاران (۱۹۹۴)، کنگ و البین^۲ (۲۰۰۰)، کیم^۳ و همکاران (۲۰۰۳)، محمود و وودال^۴ (۲۰۰۴)، زو^۵ و همکاران (۲۰۰۶ و ۲۰۰۷)، محمود و همکاران (۲۰۰۷)، سقایی و همکاران (۲۰۰۹)، حسینی فرد و همکاران (۲۰۱۱)، نورالسنا و همکاران (۲۰۱۱) مراجعه کرد. در زمینه شاخص‌های کارایی برای این نوع پروفایل نیز، مطالعاتی انجام شده است که می‌توان به تحقیقات انجام شده توسط حسینی فرد و همکاران (۲۰۱۲) a) و (۲۰۱۲) b) عبادی و امیری (۲۰۱۲)، عبادی و شهریاری (۲۰۱۳) رجوع کرد.

نعمتی کشتلی و همکاران (۲۰۱۴) دو شاخص کارایی با رویکرد تابعی برای اندازه‌گیری کارایی پروفایل خطی ساده پیشنهاد کردند که از تمام دامنه متغیر مستقل استفاده می‌شود که بر اساس انتگرال است و حدود انتگرال از کمترین مقدار متغیر مستقل تا بیشترین مقدار است. پاکزاد و همکاران (۲۰۲۱) تعمیمی بر این دو شاخص انجام داده دو شاخص کارایی بر اساس زیان ارائه کردند که در این مقاله، بر اساس آن‌ها دو شاخص کارایی جدید معرفی می‌شود.

در بخش بعد، برخی مفاهیم فازی و در بخش ۳، شاخص‌های کارایی تابعی موجود ارائه می‌شود. بخش ۴ به معرفی دو شاخص کارایی تابعی جدید بر اساس منطق فازی پرداخته و در بخش ۵ با استفاده از مطالعه شبیه‌سازی نشان داده می‌شود که عملکرد شاخص‌های جدید بهتر از شاخص‌های موجود است. بخش ۶ طریقه استفاده از شاخص‌های جدید برای داده‌های واقعی را توضیح می‌دهد و در پایان، بخش ۷ به ارائه

¹Mestek

²Kang and Albin

³Kim

⁴Mahmoud and Woodall

⁵Zou

نتایج و تحقیقات آتی می‌پردازد.

۲ برخی مفاهیم فازی

در دنیای واقعی، بسیاری از پارامترها با متغیرهای زبانی توصیف می‌شوند که بایستی بر اساس منطق فازی تعریف شوند. هر توصیف زبانی به یک تابع عضویت مربوط می‌شود که یک مجموعه فازی را تشکیل می‌دهد. در واقع، توابع عضویت به هر جزء از مجموعه مرجع، یک عدد حقیقی در بازه $[0, 1]$ نسبت می‌دهند. این عدد، درجه عضو بودن آن جزء به یک مجموعه فازی را نشان می‌دهد. هر چه این مقدار به یک نزدیکتر باشد، نشان‌دهنده درجه عضویت بالاتر است. همچنین، یک جزء می‌تواند تا درجه‌ای در عضویت یک مجموعه فازی و تا درجه‌ای متعلق به مجموعه فازی دیگر باشد. در این بخش، برخی تعاریف مورد نیاز این مقاله را ارائه می‌کنیم.

تعریف ۱.۲ (مجموعه فازی). فرض کنید E یک مجموعه ناتهی باشد. یک مجموعه فازی \tilde{A} در E با تابع عضویت آن تعیین می‌شود یعنی $\mu_{\tilde{A}}: E \rightarrow [0, 1]$. $\mu_{\tilde{A}}(e)$ درجه عضویت e در مجموعه فازی \tilde{A} برای هر $e \in E$ تعریف می‌شود. این تابع با \tilde{A} نیز نشان داده می‌شود. به عبارت دیگر $\tilde{A}: E \rightarrow [0, 1]$.

تعریف ۲.۲ (تکیه‌گاه). فرض کنید \tilde{A} یک مجموعه فازی از E باشد. تکیه‌گاه \tilde{A} را با $supp(\tilde{A})$ نشان داده، اعضای آن همه e هایی هستند که درجه عضویت آن‌ها بزرگتر از صفر است. به بیان دیگر

$$supp(\tilde{A}) = \{e \in E \mid \tilde{A}(e) > 0\}.$$

تعریف ۳.۲ (مجموعه فازی نرمال). مجموعه فازی \tilde{A} از مجموعه E نرمال نامیده می‌شود اگر e ای در آن وجود داشته باشد که درجه عضویت آن یک باشد یعنی $\tilde{A}(e) = 1$. در غیر این صورت، \tilde{A} غیر نرمال خواهد بود.

تعریف ۴.۲ (آلفا برش). مجموعه α -برش از \tilde{A} یک مجموعه غیر فازی است که آن را

شاخص‌های کارایی تابعی مبتنی بر منطق فازی برای پروفایل خطی ساده _____ ۴

با \tilde{A}_α نشان می‌دهیم و تعریف ریاضی آن به صورت زیر است:

$$\tilde{A}_\alpha = \{e \in E \mid \tilde{A}(e) \geq \alpha\}.$$

تعریف ۵.۲ (عدد فازی مثلثی). مجموعه فازی \tilde{A} عدد فازی مثلثی نامیده می‌شود و آن را با $T(a, b, c)$ نمایش می‌دهند هرگاه تابع عضویت آن برابر باشد با:

$$\tilde{A}(e) = \begin{cases} \frac{e-a}{b-a}; & a \leq e < b, \\ \frac{c-e}{c-b}; & b \leq e < c, \\ 0; & \text{در غیر این صورت} \end{cases}$$

۳ شاخص‌های کارایی تابعی موجود برای پروفایل خطی ساده

فرض کنید کیفیت محصولات فرایند بر اساس رابطه خطی ساده بین متغیرهای وابسته و مستقل باشد. بنابراین، ارتباط بین این دو متغیر مشابه مدل رگرسیون خطی ساده است. متغیر مستقل X دارای k سطح x_1, x_2, \dots, x_k با مقادیر ثابت است. در هر سطح از متغیر مستقل، نمونه‌ای تصادفی به اندازه n جمع‌آوری کرده و مقدار متغیر وابسته اندازه‌گیری می‌شود.

فرض کنید (x_i, y_{ij}) ; $i = 1, 2, \dots, k$; $j = 1, 2, \dots, n$ مشاهده j نمونه در سطح x_i باشد. در واقع k نمونه تصادفی به اندازه n در دست است. با در نظر گرفتن این‌که فرایند تحت کنترل آماری است، رابطه بین متغیرهای وابسته، مستقل و خطای تصادفی به صورت زیر است:

$$Y_{ij} = A_0 + A_1 X_i + \varepsilon_{ij}; \quad i = 1, 2, \dots, k, \quad j = 1, 2, \dots, n, \quad (1)$$

ε_{ij} ها مستقل و هم‌توزیع بر اساس توزیع نرمال با میانگین صفر و واریانس σ^2 هستند. A_0 و A_1 پارامترهای مدل هستند که بر اساس نمونه تصادفی جمع‌آوری شده از

فرایند تحت کنترل، طبق روابط زیر برآورد می‌شوند:

$$\hat{A}_0 = a_0 = \frac{\sum_{j=1}^n a_{0j}}{n}, \quad \hat{A}_1 = a_1 = \frac{\sum_{j=1}^n a_{1j}}{n}, \quad (2)$$

که در آن

$$a_{0j} = \bar{y}_j - a_{1j}\bar{x}, \quad a_{1j} = \frac{S_{xy(j)}}{S_{xx}}, \quad (3)$$

و $S_{xy(j)} = \sum_{i=1}^k (x_i - \bar{x})y_{ij}$ ، $\bar{x} = \sum_{i=1}^k x_i/k$ ، $\bar{y}_j = \sum_{i=1}^k y_{ij}/k$

$$S_{xx} = \sum_{i=1}^k (x_i - \bar{x})^2.$$

بنابراین، خواهیم داشت: $\hat{Y}_{ij} = a_{0j} + a_{1j}x_i$; $i = 1, 2, \dots, k$. برآورد σ^2 از رابطه زیر به دست می‌آید:

$$\hat{\sigma}^2 = MSE = \frac{\sum_{j=1}^n MSE_j}{n}, \quad (4)$$

که در آن $MSE_j = \sum_{i=1}^k e_{ij}^2 / (k - 2)$ است و $e_{ij} = y_{ij} - \hat{y}_{ij}$ ها باقی‌مانده‌های j امین نمونه هستند. برای اطلاعات بیشتر، به کانتر^۶ و همکاران (۲۰۰۵) و دراپر و اسمیت^۷ (۲۰۱۱) رجوع شود.

نعمتی کشتلی و همکاران (۲۰۱۴)، برای اولین بار رویکرد تابعی را در اندازه‌گیری کارایی پروفایل خطی ساده در نظر گرفتند تا از همه مقادیر متغیر مستقل، بین کمترین سطح و بیشترین سطح، استفاده کنند. در این رویکرد، حدود مشخصات فنی، حدود مشخصات طبیعی، هدف و میانگین همه توابعی از متغیر مستقل $X \in [x_1, x_k]$ هستند. این توابع به صورت زیر تعریف شده‌اند:

$$\mu_Y(X) = A_0 + A_1X, \quad (5)$$

⁶Kunter

⁷Draper and Smith

شاخص‌های کارایی تابعی مبتنی بر منطق فازی برای پروفایل خطی ساده _____ ۶

$$LSL_Y(X) = A_{\circ l} + A_{\setminus l}X, \quad USL_Y(X) = A_{\circ u} + A_{\setminus u}X, \quad (۶)$$

$$LNTL_Y(X) = A_{\circ} + A_{\setminus}X - ۳\sigma, \quad UNTL_Y(X) = A_{\circ} + A_{\setminus}X + ۳\sigma, \quad (۷)$$

بر اساس LSL و USL متغیر پاسخ در هر سطح از متغیر مستقل، خط رگرسیون به دست می‌آید که در واقع $A_{\setminus l}$ و $A_{\circ l}$ عرض از مبدا و شیب مربوط به خط رگرسیون حد پایین مشخصه فنی و $A_{\setminus u}$ و $A_{\circ u}$ مربوط به حد بالای مشخصه فنی هستند. بر این اساس، دو شاخص کارایی $C_p(profile)$ و $C_{pk}(profile)$ را طبق روابط زیر معرفی کردند:

$$C_p(profile) = \frac{\int_{x_{\setminus}}^{x_k} [USL_Y(X) - LSL_Y(X)] dX}{\int_{x_{\setminus}}^{x_k} [UNTL_Y(X) - LNTL_Y(X)] dX}, \quad (۸)$$

و

$$C_{pk}(profile) = \min \{C_{pkl}(profile), C_{pku}(profile)\}, \quad (۹)$$

$$C_{pkl}(profile) = \frac{\int_{x_{\setminus}}^{x_k} [\mu_Y(X) - LSL_Y(X)] dX}{\int_{x_{\setminus}}^{x_k} [\mu_Y(X) - LNTL_Y(X)] dX},$$

$$C_{pku}(profile) = \frac{\int_{x_{\setminus}}^{x_k} [USL_Y(X) - \mu_Y(X)] dX}{\int_{x_{\setminus}}^{x_k} [UNTL_Y(X) - \mu_Y(X)] dX}.$$

بر اساس نمونه تصادفی جمع‌آوری شده از فرایند تحت کنترل، ابتدا تمام پارامترهای مدل را برآورد کرده، سپس مقادیر شاخص‌های فوق برآورد می‌شود.

پاکزاد و همکاران (۲۰۲۱) بر اساس همین رویکرد، دو شاخص کارایی $C_{pm}(profile)$ و $C_{pmk}(profile)$ را به صورت زیر ارائه کردند:

$$C_{pm}(profile) = \begin{cases} \frac{\int_{x_{\setminus}}^{x_k} [USL_Y(X) - LSL_Y(X)] dX}{\int_{x_{\setminus}}^{x_k} [\sqrt{\sigma^2 + (\mu_Y(X) - T_Y(X))^2}] dX}; & T_Y(X) = M_Y(X), \\ \frac{\int_{x_{\setminus}}^{x_k} [d_Y^*(X)] dX}{\int_{x_{\setminus}}^{x_k} [\sqrt{\sigma^2 + (\mu_Y(X) - T_Y(X))^2}] dX}; & T_Y(X) \neq M_Y(X), \end{cases} \quad (۱۰)$$

که در آن $M_Y(X) = (LSL_Y(X) + USL_Y(X))/2$ و

$$d_Y^*(X) = \min \{ (T_Y(X) - LSL_Y(X)), (USL_Y(X) - T_Y(X)) \}.$$

$$C_{pmk}(profile) = \min \{ C_{pmkl}(profile), C_{pmku}(profile) \}, \quad (11)$$

$$C_{pmkl}(profile) = \frac{\int_{x_1}^{x_k} [\mu_Y(X) - LSL_Y(X)] dX}{\int_{x_1}^{x_k} [3\sqrt{\sigma^2 + (\mu_Y(X) - T_Y(X))^2}] dX},$$

$$C_{pmku}(profile) = \frac{\int_{x_1}^{x_k} [USL_Y(X) - \mu_Y(X)] dX}{\int_{x_1}^{x_k} [3\sqrt{\sigma^2 + (\mu_Y(X) - T_Y(X))^2}] dX}.$$

در این جا نیز بر اساس نمونه تصادفی، تمام پارامترهای مدل برآورد و سپس، مقادیر شاخص ها برآورد می شوند. آن ها با استفاده از مطالعه شبیه سازی، نشان دادند که عملکرد این دو شاخص بهتر از شاخص های معرفی شده توسط نعمتی کشتلی و همکاران (۲۰۱۴) است.

۴ دو شاخص کارایی تابعی جدید مبتنی بر منطق فازی

همان طور که در بخش قبل نشان داده شد، شاخص های موجود از همه مقادیر بین کمترین بیشترین سطح متغیر مستقل استفاده می کنند و این در حالی است که مقادیر این متغیر به تعداد k سطح است. از آن جایی که اندازه گیری هر یک از سطوح ممکن است به همراه خطا باشد و یا این که به دلایلی، مقدار متغیر مستقل در هر سطح عدد ثابت فرض شود، بهتر است مقادیر سطوح متغیر مستقل، اعداد/کمیت های فازی در نظر گرفته شود. یعنی متغیر مستقل X دارای k سطح به صورت $\tilde{x}_1, \tilde{x}_2, \dots, \tilde{x}_k$ باشد. به بیان دیگر، مقادیر این متغیر عبارت اند از: تقریباً x_1 ، تقریباً x_2 ، ... و تقریباً x_k .

بنابراین، تفاوت اصلی شاخص های موجود و شاخص هایی که در این جا ارائه می شوند این است که شاخص های موجود به تمام مقادیر متغیر مستقل، از کمترین تا بیشترین

شاخص‌های کارایی تابعی مبتنی بر منطق فازی برای پروفایل خطی ساده _____ ۸

سطح، وزن یکسان و برابر یک در انتگرال‌گیری می‌دهند در حالی‌که شاخص‌های جدید، به تمام اعداد این متغیر، وزنی برابر با اندازه عضویت آن می‌دهند. در این مقاله، همه مقادیر را اعداد فازی مثلثی در نظر می‌گیریم.

برای تعیین تکیه‌گاه اعداد فازی متغیر مستقل X ، ابتدا مقادیر زیر را محاسبه می‌کنیم:

$$a_i = \frac{x_i - x_{i-1}}{2}, \quad b_i = \frac{x_{i+1} - x_i}{2}; \quad i = 2, 3, \dots, k-1$$

و $a_1 = b_1$ و $a_k = b_{k-1}$. اعداد فازی مثلثی \tilde{x}_1 و \tilde{x}_k را به صورت زیر در نظر می‌گیریم:

$$\tilde{x}_1 = \begin{cases} \frac{x_1 + b_1 - x}{b_1}; & x_1 \leq x < x_1 + b_1, \\ 0; & \text{در غیر این صورت.} \end{cases} \quad (12)$$

$$\tilde{x}_k = \begin{cases} \frac{x - x_k + a_k}{a_k}; & x_k - a_k < x \leq x_k, \\ 0; & \text{در غیر این صورت.} \end{cases} \quad (13)$$

اعداد فازی سایر سطوح طبق فرمول زیر تعریف می‌شود:

$$\tilde{x}_i = \begin{cases} \frac{x - x_i + a_i}{a_i}; & x_i - a_i \leq x < x_i, \\ \frac{x_i + b_i - x}{b_i}; & x_i \leq x < x_i + b_i, \\ 0; & \text{در غیر این صورت.} \end{cases} \quad (14)$$

اکنون، با توجه به شاخص‌های ارائه‌شده توسط پاکزاد و همکاران (۲۰۲۱)، دو شاخص کارایی تابعی را تعریف می‌کنیم.

$$C_{pm.g}(profile) = \begin{cases} \frac{\sum_{i=1}^k \int \tilde{x}_i [USL_Y(X) - LSL_Y(X)] dX}{\sum_{i=1}^k \int [\tilde{x}_i \sqrt{\sigma^2 + (\mu_Y(X) - T_Y(X))^2}] dX}; & T_Y(X) = M_Y(X), \\ \frac{\sum_{i=1}^k \int \tilde{x}_i [d_Y^*(X)] dX}{\sum_{i=1}^k \int [\tilde{x}_i \sqrt{\sigma^2 + (\mu_Y(X) - T_Y(X))^2}] dX}; & T_Y(X) \neq M_Y(X), \end{cases} \quad (15)$$

$$C_{pmk.g}(profile) = \min \{C_{pmkl.g}(profile), C_{pmku.g}(profile)\}, \quad (۱۶)$$

$$C_{pmkl.g}(profile) = \frac{\sum_{i=1}^k \int \tilde{x}_i [\mu_Y(X) - LSL_Y(X)] dX}{\sum_{i=1}^k \int [\sqrt{3} \tilde{x}_i \sqrt{\sigma^2 + (\mu_Y(X) - T_Y(X))^2}] dX},$$

$$C_{pmku}(profile) = \frac{\sum_{i=1}^k \int \tilde{x}_i [USL_Y(X) - \mu_Y(X)] dX}{\sum_{i=1}^k \int [\sqrt{3} \tilde{x}_i \sqrt{\sigma^2 + (\mu_Y(X) - T_Y(X))^2}] dX}.$$

با استفاده از نمونه تصادفی جمع‌آوری شده از فرایند تحت کنترل، تمام پارامترها برآورد و سپس، مقادیر شاخص‌ها برآورد می‌شوند. مقدار شاخص‌های فوق اعداد دقیق است. برای تصمیم‌گیری در مورد کارا بودن فرایند، مقدار آستانه برابر با ۱ در نظر گرفته می‌شود. به این معنی که اگر مقدار شاخص کارایی بیشتر از ۱ باشد، فرایند کارا است.

۵ مطالعه شبیه‌سازی

در این بخش، عملکرد شاخص‌های $C_{pm.g}(profile)$ و $C_{pmk.g}(profile)$ در مقایسه با شاخص‌های $C_{pm}(profile)$ و $C_{pmk}(profile)$ با استفاده از مطالعه شبیه‌سازی شده برای مدل پروفایل مطرح شده در مقاله کنگ و البین (۲۰۰۰)، بر اساس معیارهای آریبی و میانگین مربعات خطا ارزیابی می‌شود. در این مدل، کیفیت فرایند یا محصول بر اساس مدل پروفایل خطی ساده $Y = 3 + 2X + \varepsilon$ با چهار سطح برای متغیر مستقل برابر با ۲، ۴، ۶ و ۸ تعریف شده است و ε از توزیع نرمال با میانگین صفر و واریانس σ^2 پیروی می‌کند. حدود مشخصات و مقدار هدف متغیر وابسته در هر سطح از متغیر مستقل، در جدول ۱ آورده شده است.

بر اساس مقادیر جدول ۱، خطوط پایین و بالای مشخصات فنی و هدف تابعی به‌صورت زیر به‌دست می‌آیند:

$$LSL_Y(X) = -2.2 + 2.2825X, \quad USL_Y(X) = 2.5 + 2.2825X,$$

شاخص‌های کارایی تابعی مبتنی بر منطق فازی برای پروفایل خطی ساده _____ ۱۰

جدول ۱: حدود مشخصات و مقدار هدف متغیر وابسته

T_i	USL_i	LSL_i	x_i	i
۶/۲۵	۱۰	۲/۵	۲	۱
۱۰/۶۰	۱۴/۳۵	۶/۸۵	۴	۲
۱۵	۱۸/۷۵	۱۱/۲۵	۶	۳
۲۰	۲۳/۷۵	۱۶/۲۵	۸	۴

$$T_Y(X) = ۱,۵۵ + ۲,۲۸۲۵X,$$

خط هدف فوق در وسط دو خط مشخصه فنی قرار گرفته، تلورانس متقارن نامیده می‌شود. به علاوه، دو خط پروفایل تابعی تحت کنترل زیر نیز در نظر گرفته شده تا مطالعه بیشتری انجام شود.

$$Y = ۳,۵ + ۲X + \varepsilon, \quad Y = ۳,۴ + ۱,۸X + \varepsilon,$$

نمودار این خطوط در شکل ۱ نشان داده شده است. در این مطالعه، ۱۰۰۰۰ بار نمونه‌هایی به اندازه‌های ۲۵، ۵۰، ۱۰۰ و ۲۰۰ با چهار مقدار مختلف ۰,۵، ۰,۸، ۱ و ۱,۲ برای انحراف معیار، تولید و مقادیر شاخص‌ها، اریبی و میانگین مربع خطا برای چهار شاخص مورد نظر محاسبه و در جداول ۲ تا ۷ نشان داده شده‌اند.

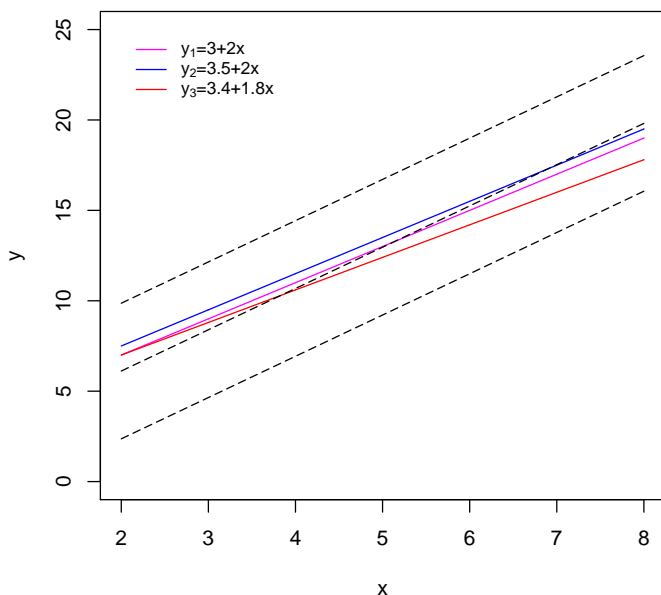
برای انجام مقایسه‌های بیشتر، خط هدف دیگری به صورت $T_Y(X) = ۳,۴۲۵ + ۲,۲۸۲۵X$ نیز در نظر گرفته شده است تا تلورانس نامتقارن نیز مورد بررسی قرار گیرد. در این حالت، سه خط پروفایل تابعی تحت کنترل زیر مورد ارزیابی قرار گرفته‌اند:

$$Y = ۳,۴ + ۲,۴X + \varepsilon, \quad Y = ۳,۶ + ۲,۲X + \varepsilon, \quad Y = ۵ + ۱,۸X + \varepsilon,$$

نمودار این خطوط در شکل ۲ و نتایج مطالعه شبیه‌سازی در جداول ۸ تا ۱۳ آورده شده است.

در جداول مشاهده می‌شود که مقادیر میانگین مربعات خطا برای شاخص تابعی $C_{pm.g}(profile)$ کمتر از شاخص $C_{pm}(profile)$ و همچنین، این مقادیر برای شاخص

تابعی $C_{pmk.g}(profile)$ کمتر از شاخص $C_{pmk}(profile)$ است. برای توضیح شکلی، برای برخی مقایسه‌ها مقادیر میانگین مربعات خطا رسم شده است. شکل‌های ۳ و ۴ که به ترتیب مربوط به جداول ۴-۵ و ۱۲-۱۳ هستند، به وضوح گویای این مطلب هستند. این مطالعات شبیه‌سازی نتیجه می‌دهند که شاخص‌های تابعی جدید معرفی شده عملکرد بهتری نسبت به شاخص‌های تابعی موجود دارند.



شکل ۱: نمودار خطوط حدود مشخصات، هدف و پروفایل‌های تابعی، تلورانس تابعی مقارن

۶ مثال واقعی

در این بخش، با استفاده از داده‌های مقاله شی^۸ و همکاران (۲۰۱۴) طریقه استفاده از شاخص‌های جدید را نشان می‌دهیم. عملکرد فنر با استفاده از رابطه بین کشش و طول فنر تعیین می‌شود. طبق قانون هوک^۹ هنگامی که فنر به حالتی از تعادل می‌رسد، میزان

^۸Shi

^۹Hooke

جدول ۲: مقایسه‌های بین شاخص‌های جدید و شاخص‌های موجود-هدف متقارن
 $(y_{ij} = 3 + 2x_i + \varepsilon_{ij})$

$C_{pmk.g}(profile)$ (۱,۷۹۰۷)	$C_{pm.g}(profile)$ (۱,۸۰۸۷)	$C_{pmk}(profile)$ (۱,۸۰۸۷)	$C_{pm}(profile)$ (۱,۸۲۶۹)	مقدار واقعی $\varepsilon_{ij} \sim N(0, 0.5^2)$	حجم نمونه
$\hat{C}_{pmk.g}(profile)$ (bias&MSE)	$\hat{C}_{pm.g}(profile)$ (bias&MSE)	$\hat{C}_{pmk}(profile)$ (bias&MSE)	$\hat{C}_{pm}(profile)$ (bias&MSE)		
۱,۷۸۷۵ (-۰.۰۳۱۵&۰.۰۹۷)	۱,۸۱۲۰ (۰.۰۳۳&۰.۰۹۳)	۱,۸۰۵۵ (-۰.۰۳۱۵&۰.۰۹۹)	۱,۸۳۰۲ (۰.۰۲۲۵&۰.۰۹۵)		۲۵
۱,۷۸۹۲ (-۰.۰۱۵۵&۰.۰۴۹)	۱,۸۰۹۹ (۰.۰۱۱&۰.۰۴۷)	۱,۸۰۷۲ (-۰.۰۱۵۵&۰.۰۵۰)	۱,۸۲۸۱ (۰.۰۱۱&۰.۰۴۷)		۵۰
۱,۷۸۰۷ (-۰.۰۰۹۹&۰.۰۲۵)	۱,۷۹۹۶ (-۰.۰۰۹۱&۰.۰۲۳)	۱,۷۹۸۵ (۰.۰۰۴۹&۰.۰۲۵)	۱,۸۱۷۵ (-۰.۰۰۹۹&۰.۰۲۴)		۱۰۰
۱,۷۸۶۱ (-۰.۰۰۴۶&۰.۰۱۲)	۱,۸۰۴۳ (-۰.۰۰۴۴&۰.۰۱۱)	۱,۸۰۳۹ (-۰.۰۰۴۷&۰.۰۱۳)	۱,۸۲۲۳ (-۰.۰۰۴۵&۰.۰۱۲)		۲۰۰
(۱,۲۲۰۰)	(۱,۲۳۳۳)	(۱,۲۳۸۲)	(۱,۲۴۱۶)	مقدار واقعی $\varepsilon_{ij} \sim N(0, 0.8^2)$	
۱,۲۷۰۸ (-۰.۰۴۹۳&۰.۰۹۴)	۱,۲۹۵۱ (-۰.۰۳۸۳&۰.۰۸۰)	۱,۲۷۸۲ (-۰.۰۴۹۹&۰.۰۹۶)	۱,۳۰۲۷ (-۰.۰۳۸۹&۰.۰۸۱)		۲۵
۱,۲۹۵۰ (-۰.۰۲۵۱&۰.۰۴۲)	۱,۳۱۴۲ (-۰.۰۱۹۱&۰.۰۳۷)	۱,۳۰۲۸ (-۰.۰۲۵۴&۰.۰۴۳)	۱,۳۲۲۱ (-۰.۰۱۹۵&۰.۰۳۷)		۵۰
۱,۳۰۸۰ (-۰.۰۱۲۱&۰.۰۲۰)	۱,۳۲۴۰ (-۰.۰۰۹۳&۰.۰۱۸)	۱,۳۱۵۹ (-۰.۰۱۲۲&۰.۰۲۰)	۱,۳۳۲۱ (-۰.۰۰۹۵&۰.۰۱۸)		۱۰۰
۱,۳۱۴۶ (-۰.۰۰۵۴&۰.۰۱۰)	۱,۳۲۸۸ (-۰.۰۰۴۵&۰.۰۰۹)	۱,۳۲۲۷ (-۰.۰۰۵۵&۰.۰۱۰)	۱,۳۳۷۰ (-۰.۰۰۴۶&۰.۰۰۹)		۲۰۰

جدول ۳: مقایسه‌های بین شاخص‌های جدید و شاخص‌های موجود-هدف متقارن
 $(y_{ij} = 3 + 2x_i + \varepsilon_{ij})$

$C_{pmk.g}(profile)$ (۱,۱۰۹۹)	$C_{pm.g}(profile)$ (۱,۱۱۱۱)	$C_{pmk}(profile)$ (۱,۱۱۵۰)	$C_{pm}(profile)$ (۱,۱۲۶۳)	مقدار واقعی $\varepsilon_{ij} \sim N(0, 1^2)$	حجم نمونه
$\hat{C}_{pmk.g}(profile)$ (bias&MSE)	$\hat{C}_{pm.g}(profile)$ (bias&MSE)	$\hat{C}_{pmk}(profile)$ (bias&MSE)	$\hat{C}_{pm}(profile)$ (bias&MSE)		
۱,۰۶۱۱ (-۰.۰۴۸۸&۰.۰۷۹)	۱,۰۸۵۷ (-۰.۰۳۵۴&۰.۰۶۳)	۱,۰۶۵۷ (-۰.۰۴۹۳&۰.۰۸۰)	۱,۰۹۰۴ (-۰.۰۳۵۹&۰.۰۶۴)		۲۵
۱,۰۸۴۴ (-۰.۰۲۵۵&۰.۰۳۵)	۱,۱۰۳۴ (-۰.۰۱۷۷&۰.۰۲۹)	۱,۰۸۹۳ (-۰.۰۲۵۷&۰.۰۳۵)	۱,۱۰۸۳ (-۰.۰۱۸۰&۰.۰۲۹)		۵۰
۱,۰۹۷۲ (-۰.۰۱۲۷&۰.۰۱۶)	۱,۱۱۲۴ (-۰.۰۰۸۷&۰.۰۱۴)	۱,۱۰۲۲ (-۰.۰۱۲۸&۰.۰۱۶)	۱,۱۱۷۵ (-۰.۰۰۸۸&۰.۰۱۴)		۱۰۰
۱,۱۰۴۱ (-۰.۰۰۵۸&۰.۰۰۸)	۱,۱۱۶۹ (-۰.۰۰۴۴&۰.۰۰۷)	۱,۱۰۹۱ (-۰.۰۰۵۹&۰.۰۰۸)	۱,۱۲۲۰ (-۰.۰۰۴۳&۰.۰۰۷)		۲۰۰
(۰,۸۵۳۱)	(۰,۸۶۲۷)	(۰,۸۵۶۴)	(۰,۸۶۶۱)	مقدار واقعی $\varepsilon_{ij} \sim N(0, 1.2^2)$	
۰,۹۰۵۶ (-۰.۰۳۷۴&۰.۰۶۷)	۰,۹۳۰۴ (-۰.۰۳۲۳&۰.۰۴۹)	۰,۹۰۸۷ (-۰.۰۳۷۸&۰.۰۶۷)	۰,۹۳۳۵ (-۰.۰۳۲۶&۰.۰۵۰)		۲۵
۰,۹۲۷۷ (-۰.۰۲۵۳&۰.۰۲۹)	۰,۹۴۶۵ (-۰.۰۱۶۴&۰.۰۲۳)	۰,۹۳۰۹ (-۰.۰۲۵۵&۰.۰۲۹)	۰,۹۴۹۷ (-۰.۰۱۶۳&۰.۰۲۳)		۵۰
۰,۹۴۰۱ (-۰.۰۱۳۰&۰.۰۱۳)	۰,۹۵۴۷ (-۰.۰۰۸۰&۰.۰۱۱)	۰,۹۴۳۳ (-۰.۰۱۳۱&۰.۰۱۳)	۰,۹۵۸۰ (-۰.۰۰۸۱&۰.۰۱۱)		۱۰۰
۰,۹۴۶۹ (-۰.۰۰۶۱&۰.۰۰۶)	۰,۹۵۸۸ (-۰.۰۰۳۹&۰.۰۰۵)	۰,۹۵۰۳ (-۰.۰۰۶۲&۰.۰۰۶)	۰,۹۶۲۱ (-۰.۰۰۳۹&۰.۰۰۵)		۲۰۰

جدول ۴: مقایسه‌های بین شاخص‌های جدید و شاخص‌های موجود-هدف متقارن
 $(y_{ij} = 3.5 + 2x_i + \varepsilon_{ij})$

$C_{pmk.g}(profile)$ (۱,۲۸۵۳)	$C_{pm.g}(profile)$ (۱,۵۰۰۴)	$C_{pmk}(profile)$ (۱,۲۹۴۶)	$C_{pm}(profile)$ (۱,۵۱۱۲)	مقدار واقعی $\varepsilon_{ij} \sim N(0, 0.5^2)$	حجم نمونه
$\bar{C}_{pmk.g}(profile)$ (bias&MSE)	$\bar{C}_{pm.g}(profile)$ (bias&MSE)	$\bar{C}_{pmk}(profile)$ (bias&MSE)	$\bar{C}_{pm}(profile)$ (bias&MSE)		
۱,۲۶۵ (-۰.۲۰۴&۰.۵۹)	۱,۴۷۶۱ (-۰.۲۴۳&۰.۵۵)	۱,۲۷۳۷ (-۰.۲۰۹&۰.۶۱)	۱,۴۸۶۳ (-۰.۲۴۹&۰.۵۶)	۲۵	حجم نمونه
۱,۲۷۵۳ (-۰.۱۰۵&۰.۲۹)	۱,۴۸۸۴ (-۰.۱۲۰&۰.۲۶)	۱,۲۸۴۴ (-۰.۱۰۲&۰.۳۰)	۱,۴۹۸۹ (-۰.۱۲۳&۰.۲۷)	۵۰	
۱,۲۸۰۲ (-۰.۰۵۴&۰.۱۴)	۱,۴۹۴۴ (-۰.۰۶۱&۰.۱۳)	۱,۲۸۹۳ (-۰.۰۵۳&۰.۱۵)	۱,۵۰۵۰ (-۰.۰۶۲&۰.۱۳)	۱۰۰	
۱,۲۸۲۸ (-۰.۰۲۶&۰.۰۰۷)	۱,۴۹۷۴ (-۰.۰۳۰&۰.۰۰۶)	۱,۲۹۲۰ (-۰.۰۲۷&۰.۰۰۷)	۱,۵۰۸۱ (-۰.۰۳۱&۰.۰۰۶)	۲۰۰	
(۱,۰۱۳۳)	(۱,۱۸۲۸)	(۱,۰۱۸۰)	(۱,۱۸۸۳)	$\varepsilon_{ij} \sim N(0, 0.8^2)$	
۰,۸۹۹۹ (-۰.۲۳۴&۰.۰۶۱)	۱,۱۵۴۹ (-۰.۲۷۹&۰.۰۵۴)	۰,۸۹۴۳ (-۰.۲۳۶&۰.۰۶۲)	۱,۱۶۰۰ (-۰.۲۸۲&۰.۰۵۴)	۲۵	حجم نمونه
۱,۰۰۱۸ (-۰.۱۱۵&۰.۰۳۰)	۱,۱۶۹۰ (-۰.۱۳۹&۰.۰۲۵)	۱,۰۰۶۳ (-۰.۱۱۶&۰.۰۳۰)	۱,۱۷۴۲ (-۰.۱۴۰&۰.۰۲۶)	۵۰	
۱,۰۰۷۳ (-۰.۰۶۰&۰.۰۱۵)	۱,۱۷۵۸ (-۰.۰۷۰&۰.۰۱۲)	۱,۰۱۱۹ (-۰.۰۶۰&۰.۰۱۵)	۱,۱۸۱۲ (-۰.۰۷۱&۰.۰۱۲)	۱۰۰	
۱,۰۱۰۳ (-۰.۰۳۰&۰.۰۰۷)	۱,۱۷۹۴ (-۰.۰۳۴&۰.۰۰۶)	۱,۰۱۵۰ (-۰.۰۳۰&۰.۰۰۷)	۱,۱۸۴۸ (-۰.۰۳۵&۰.۰۰۶)	۲۰۰	

جدول ۵: مقایسه‌های بین شاخص‌های جدید و شاخص‌های موجود-هدف متقارن
 $(y_{ij} = 2.5 + x_i + \varepsilon_{ij})$

$C_{pmk.g}(profile)$ (۰,۸۷۶۹)	$C_{pm.g}(profile)$ (۱,۰۲۳۶)	$C_{pmk}(profile)$ (۰,۸۸۰۰)	$C_{pm}(profile)$ (۱,۰۲۳۳)	مقدار واقعی $\varepsilon_{ij} \sim N(0, 1^2)$	حجم نمونه
$\bar{C}_{pmk.g}(profile)$ (bias&MSE)	$\bar{C}_{pm.g}(profile)$ (bias&MSE)	$\bar{C}_{pmk}(profile)$ (bias&MSE)	$\bar{C}_{pm}(profile)$ (bias&MSE)		
۰,۸۵۳۷ (-۰.۲۳۱&۰.۰۵۵)	۰,۸۹۵۹ (-۰.۲۷۷&۰.۰۴۷)	۰,۸۵۶۷ (-۰.۲۳۳&۰.۰۵۵)	۰,۸۹۹۳ (-۰.۲۷۹&۰.۰۴۷)	۲۵	حجم نمونه
۰,۸۶۵۵ (-۰.۱۱۴&۰.۰۲۷)	۱,۰۰۹۸ (-۰.۱۳۷&۰.۰۲۲)	۰,۸۶۸۵ (-۰.۱۱۵&۰.۰۲۷)	۱,۰۱۳۴ (-۰.۱۳۹&۰.۰۲۲)	۵۰	
۰,۸۷۰۹ (-۰.۰۵۹&۰.۰۱۳)	۱,۰۱۶۷ (-۰.۰۶۹&۰.۰۱۰)	۰,۸۷۴۰ (-۰.۰۶۰&۰.۰۱۳)	۱,۰۲۰۳ (-۰.۰۷۰&۰.۰۱۱)	۱۰۰	
۰,۸۷۳۹ (-۰.۰۲۹&۰.۰۰۷)	۱,۰۲۰۲ (-۰.۰۳۴&۰.۰۰۵)	۰,۸۷۷۱ (-۰.۰۳۰&۰.۰۰۷)	۱,۰۲۳۸ (-۰.۰۳۴&۰.۰۰۵)	۲۰۰	
(۰,۷۶۸۴)	(۰,۸۹۷۰)	(۰,۷۷۰۶)	(۰,۸۹۹۶)	$\varepsilon_{ij} \sim N(0, 1.2^2)$	
۰,۷۴۶۳ (-۰.۲۲۲&۰.۰۴۸)	۰,۸۷۰۵ (-۰.۲۶۵&۰.۰۳۹)	۰,۷۴۸۳ (-۰.۲۲۳&۰.۰۴۹)	۰,۸۷۲۹ (-۰.۲۶۷&۰.۰۴۰)	۲۵	حجم نمونه
۰,۷۵۷۵ (-۰.۱۰۹&۰.۰۲۴)	۰,۸۸۳۸ (-۰.۱۳۲&۰.۰۱۸)	۰,۷۵۹۶ (-۰.۱۱۰&۰.۰۲۴)	۰,۸۸۶۲ (-۰.۱۳۳&۰.۰۱۸)	۵۰	
۰,۷۶۲۷ (-۰.۰۵۷&۰.۰۱۲)	۰,۸۹۰۳ (-۰.۰۶۷&۰.۰۰۹)	۰,۷۶۴۹ (-۰.۰۵۷&۰.۰۱۲)	۰,۸۹۲۸ (-۰.۰۶۷&۰.۰۰۹)	۱۰۰	
۰,۷۶۵۶ (-۰.۰۲۸&۰.۰۰۶)	۰,۸۹۳۷ (-۰.۰۳۲&۰.۰۰۴)	۰,۷۶۷۸ (-۰.۰۲۸&۰.۰۰۶)	۰,۸۹۶۲۹ (-۰.۰۳۲&۰.۰۰۴)	۲۰۰	

جدول ۶: مقایسه‌های بین شاخص‌های جدید و شاخص‌های موجود-هدف متقارن
 $(y_{ij} = 3/4 + 1/8x_i + \varepsilon_{ij})$

$C_{pmk.g}(profile)$ (۱,۰۲۷)	$C_{pm.g}(profile)$ (۱,۲۰۸۸)	$C_{pmk}(profile)$ (۱,۰۳۸۹)	$C_{pm}(profile)$ (۱,۲۲۲۲)	مقدار واقعی	$\varepsilon_{ij} \sim N(0, 0.5^2)$
$\hat{C}_{pmk.g}(profile)$ (bias&MSE)	$\hat{C}_{pm.g}(profile)$ (bias&MSE)	$\hat{C}_{pmk}(profile)$ (bias&MSE)	$\hat{C}_{pm}(profile)$ (bias&MSE)		
۱,۰۱۶۴ (-۰,۰۱۱۱&۰,۰۲۲۶)	۱,۱۹۵۳ (-۰,۰۱۳۵&۰,۰۲۰۳)	۱,۰۲۷۶ (-۰,۰۱۱۳&۰,۰۲۳۱)	۱,۲۰۸۴ (-۰,۰۱۳۷&۰,۰۲۰۸)	۲۵	حجم نمونه
۱,۰۲۱۹ (-۰,۰۰۵۶&۰,۰۱۱۴)	۱,۲۰۲۰ (-۰,۰۰۶۸&۰,۰۱۰۰)	۱,۰۳۳۲ (-۰,۰۰۵۷&۰,۰۱۱۷)	۱,۲۱۵۲ (-۰,۰۰۶۹&۰,۰۱۰۲)	۵۰	
۱,۰۲۵۱ (-۰,۰۰۲۴&۰,۰۰۵۶)	۱,۲۰۵۸ (-۰,۰۰۳۰&۰,۰۰۴۸)	۱,۰۳۶۴ (-۰,۰۰۲۴&۰,۰۰۵۷)	۱,۲۱۹۱ (-۰,۰۰۳۱&۰,۰۰۴۹)	۱۰۰	
۱,۰۲۶۴ (-۰,۰۰۱۱&۰,۰۰۲۷)	۱,۲۰۷۴ (-۰,۰۰۱۴&۰,۰۰۲۳)	۱,۰۳۷۷ (-۰,۰۰۱۱&۰,۰۰۲۸)	۱,۲۲۰۷ (-۰,۰۰۱۵&۰,۰۰۲۴)	۲۰۰	
(۰,۸۶۲۰)	(۱,۰۱۴۱)	(۰,۸۶۹۹)	(۱,۰۲۳۴)	مقدار واقعی	$\varepsilon_{ij} \sim N(0, 0.5^2)$
۰,۸۴۷۲ (-۰,۰۱۴۹&۰,۰۳۰۸)	۰,۹۹۵۹ (-۰,۰۱۸۲&۰,۰۲۶۷)	۰,۸۵۴۷ (-۰,۰۱۵۲&۰,۰۳۱۶)	۱,۰۰۴۷ (-۰,۰۱۸۶&۰,۰۲۷۳)	۲۵	حجم نمونه
۰,۸۵۴۵ (-۰,۰۰۷۴&۰,۰۱۵۶)	۱,۰۰۵۰ (-۰,۰۰۹۱&۰,۰۱۲۹)	۰,۸۶۲۲ (-۰,۰۰۷۶&۰,۰۱۶۰)	۱,۰۱۴۰ (-۰,۰۰۹۳&۰,۰۱۳۳)	۵۰	
۰,۸۵۸۷ (-۰,۰۰۳۳&۰,۰۰۷۶)	۱,۰۰۹۹ (-۰,۰۰۲۲&۰,۰۰۶۲)	۰,۸۶۶۵ (-۰,۰۰۳۴&۰,۰۰۷۸)	۱,۰۱۹۱ (-۰,۰۰۳۳&۰,۰۰۶۳)	۱۰۰	
۰,۸۶۰۵ (-۰,۰۰۱۵&۰,۰۰۳۷)	۱,۰۱۲۱ (-۰,۰۰۲۰&۰,۰۰۳۰)	۰,۸۶۸۳ (-۰,۰۰۱۶&۰,۰۰۳۸)	۱,۰۲۱۳ (-۰,۰۰۲۰&۰,۰۰۳۱)	۲۰۰	

جدول ۷: مقایسه‌های بین شاخص‌های جدید و شاخص‌های موجود-هدف متقارن
 $(y_{ij} = 3/4 + 1/8x_i + \varepsilon_{ij})$

$C_{pmk.g}(profile)$ (۰,۷۶۸۹)	$C_{pm.g}(profile)$ (۰,۹۰۴۴)	$C_{pmk}(profile)$ (۰,۷۷۴۸)	$C_{pm}(profile)$ (۰,۹۱۱۵)	مقدار واقعی	$\varepsilon_{ij} \sim N(0, 1.2^2)$
$\hat{C}_{pmk.g}(profile)$ (bias&MSE)	$\hat{C}_{pm.g}(profile)$ (bias&MSE)	$\hat{C}_{pmk}(profile)$ (bias&MSE)	$\hat{C}_{pm}(profile)$ (bias&MSE)		
۰,۷۵۳۰ (-۰,۰۱۵۹&۰,۰۳۱۹)	۰,۸۸۵۱ (-۰,۰۱۹۵&۰,۰۲۶۶)	۰,۷۵۸۶ (-۰,۰۱۶۲&۰,۰۳۲۶)	۰,۸۹۱۶ (-۰,۰۱۹۹&۰,۰۲۷۲)	۲۵	حجم نمونه
۰,۷۶۰۹ (-۰,۰۰۸۰&۰,۰۱۶۲)	۰,۸۹۴۸ (-۰,۰۰۹۷&۰,۰۱۲۹)	۰,۷۶۶۶ (-۰,۰۰۸۱&۰,۰۱۶۵)	۰,۹۰۱۶ (-۰,۰۰۹۹&۰,۰۱۳۱)	۵۰	
۰,۷۶۵۳ (-۰,۰۰۳۶&۰,۰۰۷۹)	۰,۹۰۰۰ (-۰,۰۰۴۵&۰,۰۰۶۱)	۰,۷۷۱۱ (-۰,۰۰۳۶&۰,۰۰۸۰)	۰,۹۰۶۹ (-۰,۰۰۴۶&۰,۰۰۶۳)	۱۰۰	
۰,۷۶۷۲ (-۰,۰۰۱۷&۰,۰۰۳۹)	۰,۹۰۲۴ (-۰,۰۰۲۲&۰,۰۰۳۰)	۰,۷۷۳۱ (-۰,۰۰۱۷&۰,۰۰۴۰)	۰,۹۰۹۳ (-۰,۰۰۲۲&۰,۰۰۳۱)	۲۰۰	
(۰,۶۸۹۷)	(۰,۸۱۱۳)	(۰,۶۹۴۱)	(۰,۸۱۶۶)	مقدار واقعی	$\varepsilon_{ij} \sim N(0, 1.2^2)$
۰,۶۷۳۵ (-۰,۰۱۶۱&۰,۰۳۱۱)	۰,۷۹۱۵ (-۰,۰۱۹۸&۰,۰۲۴۹)	۰,۶۷۷۷ (-۰,۰۱۶۴&۰,۰۳۱۷)	۰,۷۹۶۴ (-۰,۰۲۰۲&۰,۰۲۵۴)	۲۵	حجم نمونه
۰,۶۸۱۵ (-۰,۰۰۸۱&۰,۰۱۵۸)	۰,۸۰۱۴ (-۰,۰۰۹۹&۰,۰۱۲۰)	۰,۶۸۵۸ (-۰,۰۰۸۲&۰,۰۱۶۱)	۰,۸۰۶۵ (-۰,۰۱۰۱&۰,۰۱۲۱)	۵۰	
۰,۶۸۶۰ (-۰,۰۰۳۷&۰,۰۰۷۷)	۰,۸۰۶۷ (-۰,۰۰۴۷&۰,۰۰۵۷)	۰,۶۹۰۳ (-۰,۰۰۳۷&۰,۰۰۷۹)	۰,۸۱۱۸ (-۰,۰۰۴۸&۰,۰۰۵۸)	۱۰۰	
۰,۶۸۷۹ (-۰,۰۰۱۷&۰,۰۰۳۸)	۰,۸۰۹۱ (-۰,۰۰۲۲&۰,۰۰۲۸)	۰,۶۹۲۳ (-۰,۰۰۱۷&۰,۰۰۳۹)	۰,۸۱۳۳ (-۰,۰۰۲۲&۰,۰۰۲۸)	۲۰۰	

جدول ۸: مقایسه‌های بین شاخص‌های جدید و شاخص‌های موجود-هدف نامتقارن
 $(y_{ij} = 3/4 + 2/4x_i + \varepsilon_{ij})$

$C_{pmk.g}(profile)$ (۰.۵۷۱۰)	$C_{pm.g}(profile)$ (۰.۸۱۵۷)	$C_{pmk}(profile)$ (۰.۵۷۱۶)	$C_{pm}(profile)$ (۰.۸۱۶۵)	مقدار واقعی	$\varepsilon_{ij} \sim N(0, 0.8^2)$
$C_{pmk.g}(profile)$ (bias&MSE)	$C_{pm.g}(profile)$ (bias&MSE)	$C_{pmk}(profile)$ (bias&MSE)	$C_{pm}(profile)$ (bias&MSE)		
۰.۵۶۲۱ (-۰.۰۸۹۰۸۹&۰.۰۲۵۹)	۰.۸۰۱۹ (-۰.۰۱۳۷&۰.۰۲۲۰)	۰.۵۶۲۷ (-۰.۰۸۸۰۸۸&۰.۰۲۶۰)	۰.۸۰۲۸ (-۰.۰۱۳۷&۰.۰۲۲۱)	۲۵	حجم نمونه
۰.۵۶۶۸ (-۰.۰۴۱۰۴۱&۰.۰۱۳۳)	۰.۸۰۹۱ (-۰.۰۰۶۶&۰.۰۱۰۸)	۰.۵۶۷۴ (-۰.۰۴۱۰۴۱&۰.۰۱۳۳)	۰.۸۱۰۰ (-۰.۰۰۶۵&۰.۰۱۰۸)	۵۰	
۰.۵۶۸۶ (-۰.۰۰۲۴&۰.۰۰۶۶)	۰.۸۱۲۱ (-۰.۰۰۳۶&۰.۰۰۵۳)	۰.۵۶۹۲ (-۰.۰۰۲۴&۰.۰۰۶۶)	۰.۸۱۳۰ (-۰.۰۰۳۵&۰.۰۰۵۳)	۱۰۰	
۰.۵۶۹۷ (-۰.۰۰۱۲&۰.۰۰۳۳)	۰.۸۱۳۹ (-۰.۰۰۱۷&۰.۰۰۲۶)	۰.۵۷۰۳ (-۰.۰۰۱۲&۰.۰۰۳۳)	۰.۸۱۴۸ (-۰.۰۰۱۷&۰.۰۰۲۷)	۲۰۰	
(۰.۴۴۰۵)	(۰.۶۲۹۳)	(۰.۴۴۰۹)	(۰.۶۲۹۹)		$\varepsilon_{ij} \sim N(0, 0.8^2)$
۰.۴۴۰۲ (-۰.۰۱۰۳&۰.۰۲۵۰)	۰.۶۱۳۳ (-۰.۰۱۶۰&۰.۰۱۸۳)	۰.۴۳۰۶ (-۰.۰۱۰۳&۰.۰۲۵۱)	۰.۶۱۳۹ (-۰.۰۱۶۰&۰.۰۱۸۴)	۲۵	حجم نمونه
۰.۴۳۵۶ (-۰.۰۰۴۹&۰.۰۱۲۸)	۰.۶۲۱۶ (-۰.۰۰۷۸&۰.۰۰۸۷)	۰.۴۳۶۰ (-۰.۰۰۴۹&۰.۰۱۲۹)	۰.۶۲۲۱ (-۰.۰۰۷۸&۰.۰۰۸۷)	۵۰	
۰.۴۳۷۷ (-۰.۰۰۲۸&۰.۰۰۶۴)	۰.۶۲۵۲ (-۰.۰۰۴۱&۰.۰۰۴۲)	۰.۴۳۸۱ (-۰.۰۰۲۸&۰.۰۰۶۴)	۰.۶۲۵۷ (-۰.۰۰۴۱&۰.۰۰۶۴)	۱۰۰	
۰.۴۳۹۱ (-۰.۰۰۱۴&۰.۰۰۳۳)	۰.۶۲۷۳ (-۰.۰۰۲۰&۰.۰۰۲۱)	۰.۴۳۹۵ (-۰.۰۰۱۴&۰.۰۰۳۳)	۰.۶۲۷۸ (-۰.۰۰۲۰&۰.۰۰۲۱)	۲۰۰	

جدول ۹: مقایسه‌های بین شاخص‌های جدید و شاخص‌های موجود-هدف نامتقارن
 $(y_{ij} = 3/4 + 2/4x_i + \varepsilon_{ij})$

$C_{pmk.g}(profile)$ (۰.۳۶۵۵)	$C_{pm.g}(profile)$ (۰.۵۲۷۹)	$C_{pmk}(profile)$ (۰.۳۶۶۸)	$C_{pm}(profile)$ (۰.۵۲۸۳)	مقدار واقعی	$\varepsilon_{ij} \sim N(0, 1^2)$
$C_{pmk.g}(profile)$ (bias&MSE)	$C_{pm.g}(profile)$ (bias&MSE)	$C_{pmk}(profile)$ (bias&MSE)	$C_{pm}(profile)$ (bias&MSE)		
۰.۳۶۶۴ (-۰.۰۱۰۱&۰.۰۲۲۵)	۰.۵۲۲۳ (-۰.۰۱۵۶&۰.۰۱۴۸)	۰.۳۶۶۷ (-۰.۰۱۰۱&۰.۰۲۲۶)	۰.۵۲۲۷ (-۰.۰۱۵۶&۰.۰۱۴۸)	۲۵	حجم نمونه
۰.۳۷۱۷ (-۰.۰۰۴۸&۰.۰۱۱۵)	۰.۵۳۰۳ (-۰.۰۰۷۶&۰.۰۰۶۹)	۰.۳۷۲۰ (-۰.۰۰۴۸&۰.۰۱۱۶)	۰.۵۳۰۷ (-۰.۰۰۷۶&۰.۰۰۶۹)	۵۰	
۰.۳۷۳۸ (-۰.۰۰۲۷&۰.۰۰۵۸)	۰.۵۳۳۹ (-۰.۰۰۴۰&۰.۰۰۳۳)	۰.۳۷۴۱ (-۰.۰۰۲۷&۰.۰۰۵۸)	۰.۵۳۴۳ (-۰.۰۰۴۰&۰.۰۰۳۳)	۱۰۰	
۰.۳۷۵۲ (-۰.۰۰۱۳&۰.۰۰۲۹)	۰.۵۳۶۰ (-۰.۰۰۱۹&۰.۰۰۱۷)	۰.۳۷۵۴ (-۰.۰۰۱۳&۰.۰۰۲۹)	۰.۵۳۶۳ (-۰.۰۰۱۹&۰.۰۰۱۷)	۲۰۰	
(۰.۳۲۶۸)	(۰.۴۶۶۸)	(۰.۳۲۶۹)	(۰.۴۶۷۱)		$\varepsilon_{ij} \sim N(0, 1^2)$
۰.۳۱۷۲ (-۰.۰۰۰۹&۰.۰۰۲۰)	۰.۴۵۲۱ (-۰.۰۰۱۴۷&۰.۰۰۱۲)	۰.۳۱۷۴ (-۰.۰۰۰۹۵&۰.۰۰۲۰)	۰.۴۵۲۴ (-۰.۰۰۱۴۷&۰.۰۰۱۱۹)	۲۵	حجم نمونه
۰.۳۲۲۲ (-۰.۰۰۰۴۶&۰.۰۰۱۰۴)	۰.۴۵۹۶ (-۰.۰۰۰۷۲&۰.۰۰۵۵)	۰.۳۲۲۴ (-۰.۰۰۰۴۶&۰.۰۰۱۰۴)	۰.۴۵۹۸ (-۰.۰۰۰۷۲&۰.۰۰۵۵)	۵۰	
۰.۳۲۴۲ (-۰.۰۰۰۲۶&۰.۰۰۵۲)	۰.۴۶۳۰ (-۰.۰۰۰۳۸&۰.۰۰۲۶)	۰.۳۲۴۴ (-۰.۰۰۰۲۵&۰.۰۰۵۲)	۰.۴۶۳۳ (-۰.۰۰۰۳۸&۰.۰۰۲۶)	۱۰۰	
۰.۳۲۵۵ (-۰.۰۰۰۱۳&۰.۰۰۲۶)	۰.۴۶۵۰ (-۰.۰۰۰۱۸&۰.۰۰۱۳)	۰.۳۲۵۷ (-۰.۰۰۰۱۳&۰.۰۰۲۶)	۰.۴۶۵۲ (-۰.۰۰۰۱۸&۰.۰۰۱۳)	۲۰۰	

جدول ۱۰: مقایسه‌های بین شاخص‌های جدید و شاخص‌های موجود-هدف نامتقارن
 $(y_{ij} = ۳/۶ + ۲/۲x_i + \varepsilon_{ij})$

$C_{pmk.g}(profile)$ (۱,۲۳۶۸)	$C_{pm.g}(profile)$ (۱,۹۹۷)	$C_{pmk}(profile)$ (۱,۲۳۸۶)	$C_{pm}(profile)$ (۱,۹۹۳)	مقدار واقعی	$\varepsilon_{ij} \sim N(0, 0.5^2)$
$\hat{C}_{pmk.g}(profile)$ (bias&MSE)	$\hat{C}_{pm.g}(profile)$ (bias&MSE)	$\hat{C}_{pmk}(profile)$ (bias&MSE)	$\hat{C}_{pm}(profile)$ (bias&MSE)		
۱,۱۹۸۳ (-۰,۳۸۴&۰,۶۵۱)	۱,۶۶۴ (-۰,۳۲۱&۰,۶۰۸)	۱,۲۰۰۱ (-۰,۳۸۵&۰,۶۵۲)	۱,۶۶۲ (-۰,۳۲۲&۰,۶۱۱)	۲۵	حجم نمونه
۱,۲۱۷۶ (-۰,۳۹۰&۰,۲۹۴)	۱,۸۱۲ (-۰,۱۶۵&۰,۲۹۰)	۱,۲۱۹۴ (-۰,۱۹۱&۰,۲۹۴)	۱,۸۲۸ (-۰,۱۶۵&۰,۲۹۱)	۵۰	
۱,۲۲۷۳ (-۰,۳۹۴&۰,۱۳۷)	۱,۸۹۸ (-۰,۳۰۷۹&۰,۱۳۹)	۱,۲۲۹۱ (-۰,۳۰۹۴&۰,۱۳۸)	۱,۹۱۳ (-۰,۳۰۷۹&۰,۱۳۹)	۱۰۰	
۱,۲۳۲۲ (-۰,۳۴۵&۰,۰۶۶)	۱,۹۳۹ (-۰,۳۰۳۷&۰,۰۶۸)	۱,۲۳۴۰ (-۰,۳۰۴۵&۰,۰۶۶)	۱,۹۵۵ (-۰,۳۰۳۷&۰,۰۶۸)	۲۰۰	
(۰,۸۳۲۱)	(۰,۷۳۸۵)	(۰,۸۳۲۷)	(۰,۷۳۹۱)	مقدار واقعی	$\varepsilon_{ij} \sim N(0, 0.5^2)$
۰,۸۰۱۹ (-۰,۳۰۱&۰,۲۸۶)	۰,۷۱۲۶ (-۰,۳۱۳&۰,۲۵۹)	۰,۸۰۲۶ (-۰,۳۰۳&۰,۲۸۶)	۰,۷۱۳۲ (-۰,۳۰۳&۰,۲۵۹)	۲۵	حجم نمونه
۰,۸۱۷۰ (-۰,۳۰۱۵۱&۰,۱۷۰)	۰,۷۲۵۶ (-۰,۳۰۱۳۰&۰,۱۲۵)	۰,۸۱۷۶ (-۰,۳۰۱۵۰&۰,۱۷۱)	۰,۷۲۶۱ (-۰,۳۰۱۲۹&۰,۱۴۵)	۵۰	
۰,۸۲۴۵ (-۰,۳۰۷۵&۰,۰۷۹)	۰,۷۳۲۲ (-۰,۳۰۶۳&۰,۰۶۸)	۰,۸۲۵۱ (-۰,۳۰۷۶&۰,۰۸۰)	۰,۷۳۲۷ (-۰,۳۰۶۳&۰,۰۶۹)	۱۰۰	
۰,۸۲۸۴ (-۰,۳۰۳۷&۰,۰۳۸)	۰,۷۳۵۵ (-۰,۳۰۳۰&۰,۰۳۳)	۰,۸۲۹۰ (-۰,۳۰۳۷&۰,۰۳۹)	۰,۷۳۶۰ (-۰,۳۰۳۰&۰,۰۳۳)	۲۰۰	

جدول ۱۱: مقایسه‌های بین شاخص‌های جدید و شاخص‌های موجود-هدف نامتقارن
 $(y_{ij} = ۳/۶ + ۲/۲x_i + \varepsilon_{ij})$

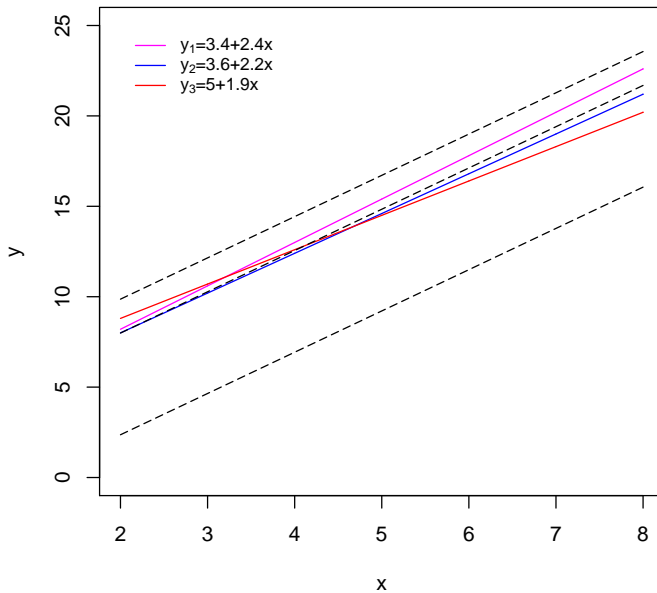
$C_{pmk.g}(profile)$ (۰,۶۷۸۶)	$C_{pm.g}(profile)$ (۰,۶۰۲۲)	$C_{pmk}(profile)$ (۰,۶۷۸۹)	$C_{pm}(profile)$ (۰,۶۰۲۶)	مقدار واقعی	$\varepsilon_{ij} \sim N(0, 1.2^2)$
$\hat{C}_{pmk.g}(profile)$ (bias&MSE)	$\hat{C}_{pm.g}(profile)$ (bias&MSE)	$\hat{C}_{pmk}(profile)$ (bias&MSE)	$\hat{C}_{pm}(profile)$ (bias&MSE)		
۰,۶۵۲۹ (-۰,۳۵۱&۰,۲۹۷)	۰,۵۸۰۳ (-۰,۳۲۰&۰,۲۱۵)	۰,۶۵۳۳ (-۰,۳۵۶&۰,۲۹۷)	۰,۵۸۰۶ (-۰,۳۲۰&۰,۲۱۵)	۲۵	حجم نمونه
۰,۶۶۵۸ (-۰,۳۲۸&۰,۱۳۲)	۰,۵۹۱۳ (-۰,۳۱۰&۰,۰۹۸)	۰,۶۶۶۱ (-۰,۳۱۸&۰,۱۳۲)	۰,۵۹۱۶ (-۰,۳۱۰&۰,۰۹۹)	۵۰	
۰,۶۷۲۱ (-۰,۳۰۶۵&۰,۰۶۲)	۰,۵۹۶۹ (-۰,۳۰۵۴&۰,۰۴۷)	۰,۶۷۲۴ (-۰,۳۰۶۵&۰,۰۶۲)	۰,۵۹۷۲ (-۰,۳۰۵۴&۰,۰۴۷)	۱۰۰	
۰,۶۷۵۴ (-۰,۳۰۳۲&۰,۰۳۰)	۰,۵۹۹۷ (-۰,۳۰۲۶&۰,۰۳۳)	۰,۶۷۵۷ (-۰,۳۰۳۲&۰,۰۳۰)	۰,۵۹۰۰ (-۰,۳۰۲۶&۰,۰۳۳)	۲۰۰	
(۰,۵۷۱۷)	(۰,۵۰۷۴)	(۰,۵۷۱۹)	(۰,۵۰۷۶)	مقدار واقعی	$\varepsilon_{ij} \sim N(0, 1.2^2)$
۰,۵۴۹۵ (-۰,۳۲۲&۰,۲۴۳)	۰,۴۸۸۴ (-۰,۳۱۹&۰,۱۵۵)	۰,۵۴۹۸ (-۰,۳۲۱&۰,۲۴۴)	۰,۴۸۸۶ (-۰,۳۱۹&۰,۱۵۵)	۲۵	حجم نمونه
۰,۵۶۰۶ (-۰,۳۱۰&۰,۱۱۰)	۰,۴۹۷۹ (-۰,۳۰۹۵&۰,۰۷۰)	۰,۵۶۰۹ (-۰,۳۱۱&۰,۱۱۰)	۰,۴۹۸۱ (-۰,۳۰۹۵&۰,۰۷۱)	۵۰	
۰,۵۶۰۰ (-۰,۳۰۵۷&۰,۰۵۲)	۰,۵۰۲۷ (-۰,۳۰۴۷&۰,۰۳۳)	۰,۵۶۰۲ (-۰,۳۰۵۷&۰,۰۵۲)	۰,۵۰۲۹ (-۰,۳۰۴۷&۰,۰۳۳)	۱۰۰	
۰,۵۶۸۹ (-۰,۳۰۲۷&۰,۰۲۵)	۰,۵۰۵۱ (-۰,۳۰۲۳&۰,۰۱۶)	۰,۵۶۹۱ (-۰,۳۰۲۸&۰,۰۲۶)	۰,۵۰۵۳ (-۰,۳۰۲۳&۰,۰۱۷)	۲۰۰	

جدول ۱۲: مقایسه‌های بین شاخص‌های جدید و شاخص‌های موجود-هدف نامتقارن
 $(y_{ij} = \delta + 19x_i + \varepsilon_{ij})$

$C_{pmk.g}(profile)$ (۰.۸۶۶۴)	$C_{pm.g}(profile)$ (۰.۷۳۴۲)	$C_{pmk}(profile)$ (۰.۸۷۵۸)	$C_{pm}(profile)$ (۰.۷۳۲۲)	مقدار واقعی $\varepsilon_{ij} \sim N(0, 0.8^2)$	حجم نمونه
$\hat{C}_{pmk.g}(profile)$ (bias&MSE)	$\hat{C}_{pm.g}(profile)$ (bias&MSE)	$\hat{C}_{pmk}(profile)$ (bias&MSE)	$\hat{C}_{pm}(profile)$ (bias&MSE)		
۰.۸۵۲۸ (-۰.۰۱۴۵&۰.۰۱۴۵)	۰.۷۲۳۱ (-۰.۰۱۱۱&۰.۰۱۱۱)	۰.۸۶۲۰ (-۰.۰۱۴۸&۰.۰۱۳۹)	۰.۷۳۰۹ (-۰.۰۱۱۴&۰.۰۱۱۴)	۲۵	حجم نمونه
۰.۸۵۹۶ (-۰.۰۰۶۸&۰.۰۰۶۹)	۰.۷۲۸۷ (-۰.۰۰۵۶&۰.۰۰۵۴)	۰.۸۶۸۹ (-۰.۰۰۷۰&۰.۰۰۶۹)	۰.۷۳۶۵ (-۰.۰۰۵۵&۰.۰۰۵۷)	۵۰	
۰.۸۶۳۲ (-۰.۰۰۲۲&۰.۰۰۲۲)	۰.۷۳۱۷ (-۰.۰۰۲۶&۰.۰۰۲۵)	۰.۸۷۲۵ (-۰.۰۰۲۳&۰.۰۰۲۳)	۰.۷۳۹۶ (-۰.۰۰۲۷&۰.۰۰۲۶)	۱۰۰	
۰.۸۶۴۸ (-۰.۰۰۱۶&۰.۰۰۱۶)	۰.۷۳۳۰ (-۰.۰۰۱۲&۰.۰۰۱۲)	۰.۸۷۴۲ (-۰.۰۰۱۶&۰.۰۰۱۷)	۰.۷۴۱۰ (-۰.۰۰۱۳&۰.۰۰۱۲)	۲۰۰	
(۰.۶۸۸۴)	(۰.۵۸۳۴)	(۰.۶۹۳۹)	(۰.۵۸۸۱)	$\varepsilon_{ij} \sim N(0, 0.8^2)$	
۰.۶۷۲۲ (-۰.۰۱۷۰&۰.۰۱۶۲)	۰.۵۷۰۲ (-۰.۰۱۱۷&۰.۰۱۲۲)	۰.۶۷۷۴ (-۰.۰۱۷۳&۰.۰۱۶۵)	۰.۵۷۴۶ (-۰.۰۱۱۹&۰.۰۱۲۵)	۲۵	حجم نمونه
۰.۶۸۰۳ (-۰.۰۰۷۹&۰.۰۰۸۱)	۰.۵۷۶۸ (-۰.۰۰۵۵&۰.۰۰۶۶)	۰.۶۸۵۷ (-۰.۰۰۸۱&۰.۰۰۸۲)	۰.۵۸۱۳ (-۰.۰۰۵۷&۰.۰۰۶۷)	۵۰	
۰.۶۸۲۵ (-۰.۰۰۲۷&۰.۰۰۴۰)	۰.۵۸۰۳ (-۰.۰۰۲۶&۰.۰۰۳۱)	۰.۶۸۹۹ (-۰.۰۰۳۸&۰.۰۰۴۱)	۰.۵۸۴۹ (-۰.۰۰۲۷&۰.۰۰۳۱)	۱۰۰	
۰.۶۸۶۵ (-۰.۰۰۱۸&۰.۰۰۱۹)	۰.۵۸۱۹ (-۰.۰۰۱۳&۰.۰۰۱۴)	۰.۶۹۱۹ (-۰.۰۰۱۹&۰.۰۰۲۰)	۰.۵۸۶۵ (-۰.۰۰۱۳&۰.۰۰۱۵)	۲۰۰	

جدول ۱۳: مقایسه‌های بین شاخص‌های جدید و شاخص‌های موجود-هدف نامتقارن
 $(y_{ij} = \delta + 19x_i + \varepsilon_{ij})$

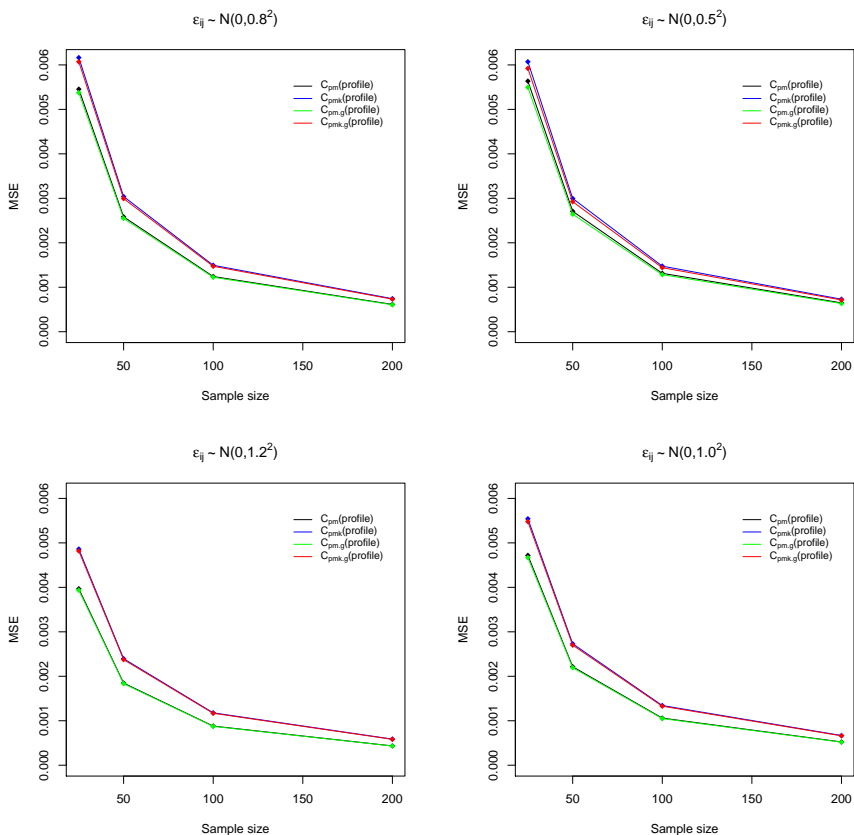
$C_{pmk.g}(profile)$ (۰.۵۹۷۷)	$C_{pm.g}(profile)$ (۰.۵۰۶۵)	$C_{pmk}(profile)$ (۰.۶۰۱۵)	$C_{pm}(profile)$ (۰.۵۰۹۷)	مقدار واقعی $\varepsilon_{ij} \sim N(0, 1.1^2)$	حجم نمونه
$\hat{C}_{pmk.g}(profile)$ (bias&MSE)	$\hat{C}_{pm.g}(profile)$ (bias&MSE)	$\hat{C}_{pmk}(profile)$ (bias&MSE)	$\hat{C}_{pm}(profile)$ (bias&MSE)		
۰.۵۸۱۴ (-۰.۰۱۶۷&۰.۰۱۶۲)	۰.۴۹۳۳ (-۰.۰۱۰۴&۰.۰۱۲۲)	۰.۵۸۴۹ (-۰.۰۱۷۰&۰.۰۱۶۶)	۰.۴۹۶۳ (-۰.۰۱۰۶&۰.۰۱۳۵)	۲۵	حجم نمونه
۰.۵۸۹۶ (-۰.۰۰۷۸&۰.۰۰۸۱)	۰.۴۹۹۹ (-۰.۰۰۴۹&۰.۰۰۶۶)	۰.۵۹۳۳ (-۰.۰۰۷۹&۰.۰۰۸۳)	۰.۵۰۳۰ (-۰.۰۰۵۰&۰.۰۰۶۷)	۵۰	
۰.۵۹۳۶ (-۰.۰۰۲۷&۰.۰۰۴۰)	۰.۵۰۳۳ (-۰.۰۰۲۳&۰.۰۰۳۱)	۰.۵۹۷۴ (-۰.۰۰۳۸&۰.۰۰۴۱)	۰.۵۰۶۵ (-۰.۰۰۲۴&۰.۰۰۳۲)	۱۰۰	
۰.۵۹۵۷ (-۰.۰۰۱۸&۰.۰۰۱۹)	۰.۵۰۵۰ (-۰.۰۰۱۱&۰.۰۰۱۵)	۰.۵۹۹۵ (-۰.۰۰۱۸&۰.۰۰۲۰)	۰.۵۰۸۲ (-۰.۰۰۱۲&۰.۰۰۱۵)	۲۰۰	
(۰.۵۲۵۰)	(۰.۴۴۴۹)	(۰.۵۲۷۷)	(۰.۴۴۷۲)	$\varepsilon_{ij} \sim N(0, 1.1^2)$	
۰.۵۰۹۲ (-۰.۰۱۶۱&۰.۰۱۵۸)	۰.۴۳۲۱ (-۰.۰۰۹۰&۰.۰۱۲۸)	۰.۵۱۱۷ (-۰.۰۱۶۲&۰.۰۱۶۰)	۰.۴۳۴۲ (-۰.۰۰۹۱&۰.۰۱۳۰)	۲۵	حجم نمونه
۰.۵۱۷۱ (-۰.۰۰۷۵&۰.۰۰۷۹)	۰.۴۳۸۵ (-۰.۰۰۴۲&۰.۰۰۶۴)	۰.۵۱۹۷ (-۰.۰۰۷۶&۰.۰۰۸۰)	۰.۴۴۰۷ (-۰.۰۰۳۳&۰.۰۰۶۵)	۵۰	
۰.۵۲۱۰ (-۰.۰۰۳۵&۰.۰۰۴۰)	۰.۴۴۱۸ (-۰.۰۰۲۰&۰.۰۰۳۱)	۰.۵۲۳۶ (-۰.۰۰۲۶&۰.۰۰۴۰)	۰.۴۴۴۰ (-۰.۰۰۲۰&۰.۰۰۳۱)	۱۰۰	
۰.۵۲۳۰ (-۰.۰۰۱۷&۰.۰۰۱۹)	۰.۴۴۳۴ (-۰.۰۰۰۹&۰.۰۰۱۵)	۰.۵۲۵۷ (-۰.۰۰۱۸&۰.۰۰۲۰)	۰.۴۴۵۷ (-۰.۰۰۱۵&۰.۰۰۱۵)	۲۰۰	



شکل ۲: نمودار خطوط حدود مشخصات، هدف و پروفایل‌های تابعی، تلورانس تابعی نامتقارن

کشش آن از پروفایل خطی ساده از تغییرات طول فنر پیروی می‌کند. بنابراین، در بهبود کیفیت، کنترل کشش فنر در طول‌های مختلف فنر ضروری است. نتایج اندازه‌گیری کشش ۹ فنر (بر حسب نیوتن) در طول‌های مختلف فنرها پس از فشار در اندازه‌های ۱۱، ۱۲، ۱۳، ۱۴، ۱۵، ۱۶ و ۱۷ (بر حسب سانتی‌متر) در جدول ۱۴ آورده شده است. به علاوه، حدود مشخصات بالا و پایین کشش فنر در هر سطح از متغیر مستقل در جدول ۱۵ ارائه شده است.

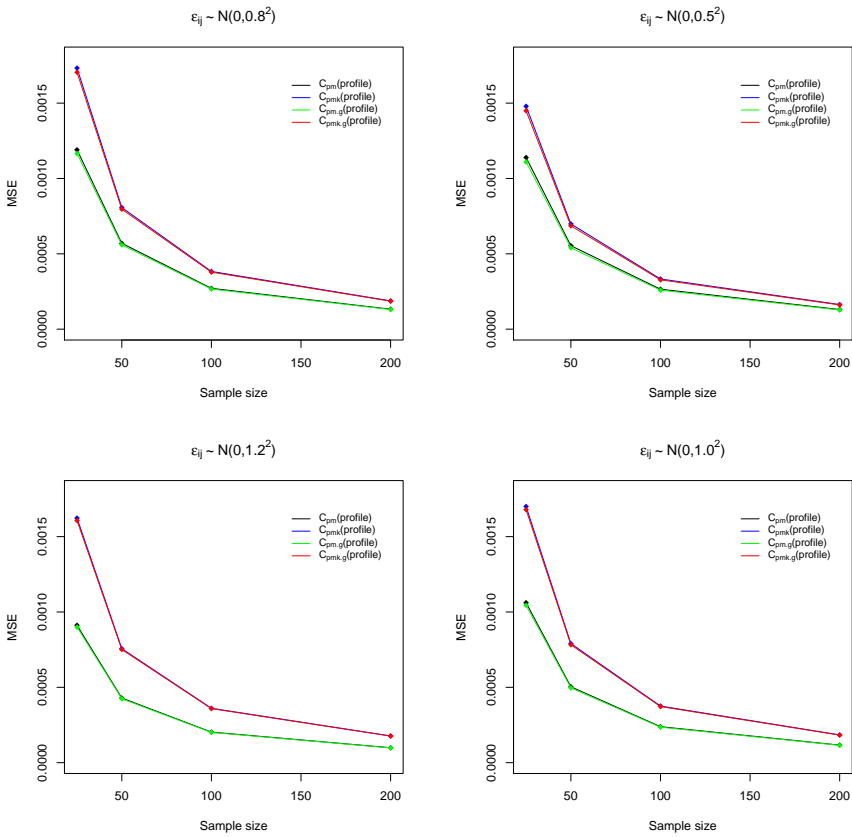
برای بررسی فرض نرمال بودن، آماره آزمون اندرسون-دارلینگ برای خطاها محاسبه و برابر با ۰/۸۸۷ به دست آمد که دلیلی بر رد این فرض وجود ندارد. بر اساس روش کمترین مربعات خطا (فرمول‌های برآورد در بخش ۳) مقدار واریانس برابر با ۰/۰۰۰۱۹۶۳۷ برآورد شده و معادله خط پروفایل به صورت $Y_{ij} = ۵/۲۳۴۰ - ۰/۲۹۵۲X_i + \varepsilon_{ij}$ به دست آمد. به علاوه، خطوط حدود مشخصات فنی و هدف تابعی به صورت $USL_Y(X) = ۴/۸۱۹۰ - ۰/۲۴۶۴X$ ، $LSL_Y(X) = ۵/۵۳۷۷ - ۰/۳۲۲۳X$



شکل ۳: نمودار MSE در مدل پروفایل $y_{ij} = 3/5 + 2x_i + \varepsilon_{ij}$ در حالت تلورانس متقارن

جدول ۱۴: میزان کشش فنر در اندازه‌های مختلف طول فنر

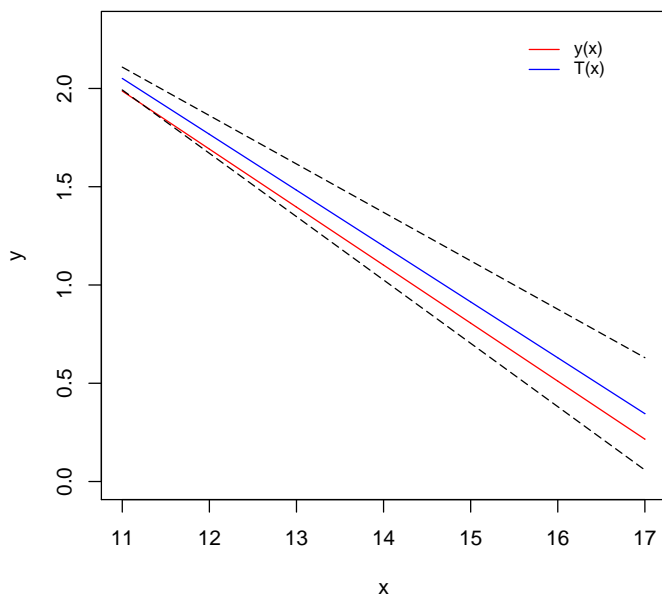
نمونه	۱۱	۱۲,۵	۱۳,۵	۱۵	۱۶	۱۷
۱	۲,۱۷۶۷	۱,۶۶۶۷	۱,۳۶۳۳	۰,۸۶۰۰	۰,۵۷۰۰	۰,۲۴۶۷
۲	۲,۰۵۲۳	۱,۵۷۶۷	۱,۲۴۶۷	۰,۷۷۶۷	۰,۴۹۰۰	۰,۲۱۰۰
۳	۱,۹۵۶۷	۱,۵۳۰۰	۱,۲۳۳۳	۰,۸۱۰۰	۰,۵۳۶۷	۰,۲۶۰۰
۴	۲,۰۴۰۰	۱,۵۶۳۳	۱,۲۶۰۰	۰,۷۹۰۰	۰,۴۸۰۰	۰,۱۹۰۰
۵	۱,۸۳۰۰	۱,۴۴۶۷	۱,۲۰۰۰	۰,۸۰۰۰	۰,۵۵۶۷	۰,۲۸۰۰
۶	۱,۹۷۶۷	۱,۵۳۰۰	۱,۲۲۶۷	۰,۷۶۳۳	۰,۴۶۶۷	۰,۱۸۳۳
۷	۲,۰۹۶۷	۱,۶۳۳۳	۱,۳۲۳۳	۰,۸۲۶۷	۰,۵۲۶۷	۰,۲۴۶۷
۸	۱,۹۹۰۰	۱,۵۳۰۰	۱,۲۲۰۰	۰,۷۴۳۳	۰,۴۰۶۷	۰,۱۴۳۳
۹	۱,۷۹۶۷	۱,۴۱۰۰	۱,۱۸۳۳	۰,۷۸۳۳	۰,۵۳۶۷	۰,۲۶۰۰



شکل ۴: نمودار MSE در مدل پروفایل $y_{ij} = 5 + 19x_i + \varepsilon_{ij}$ در حالت تلورانس نامتقارن

جدول ۱۵: حدود مشخصات برای کشش فنر در هر سطح از طول فنر

۶	۵	۴	۳	۲	۱	i
۱۷	۱۶	۱۵	۱۳.۵	۱۲.۵	۱۱	x_i
۰.۰۵۸۵	۰.۳۸۰۸	۰.۷۰۳۱	۱.۱۸۶۶	۱.۵۰۸۹	۱.۹۹۲۳	LSL_i
۰.۶۳۰۲	۰.۸۷۶۶	۱.۱۲۳۰	۱.۴۹۲۶	۱.۷۳۹۰	۲.۱۰۸۶	USL_i



شکل ۵: نمودار خطوط حدود مشخصات فنی و هدف تابعی و پروفایل در فرایند مربوط به فنر

داده شده است. حاصل شده است. نمودار این خطوط در شکل ۵ نشان

طولهای فنر در اندازه‌های تقریباً ۱۱، تقریباً ۱۲٫۵، تقریباً ۱۳٫۵، تقریباً ۱۵، تقریباً ۱۶ و تقریباً ۱۷ سانتی‌متر با توابع عضویت زیر در نظر گرفته شده‌اند:

$$\tilde{x}_1 = \begin{cases} \frac{11.75-x}{0.75}; & 11 \leq x < 11.75, \\ 0; & \text{در غیر این صورت.} \end{cases} \quad \tilde{x}_6 = \begin{cases} \frac{x-16.5}{0.5}; & 16.5 < x \leq 17, \\ 0; & \text{در غیر این صورت.} \end{cases}$$

$$\tilde{x}_2 = \begin{cases} \frac{x-11,75}{0,75}; & 11,75 \leq x < 12,5, \\ \frac{13-x}{0,5}; & 12,5 \leq x < 13, \\ 0; & \text{در غیر این صورت.} \end{cases} \quad \tilde{x}_3 = \begin{cases} \frac{x-13}{0,5}; & 13 \leq x < 13,5, \\ \frac{14,25-x}{0,75}; & 13,5 \leq x < 14,25, \\ 0; & \text{در غیر این صورت.} \end{cases}$$

$$\tilde{x}_4 = \begin{cases} \frac{x-14,25}{0,75}; & 14,25 \leq x < 15, \\ \frac{15,5-x}{0,5}; & 15 \leq x < 15,5, \\ 0; & \text{در غیر این صورت.} \end{cases} \quad \tilde{x}_5 = \begin{cases} \frac{x-15,5}{0,5}; & 15,5 \leq x < 16, \\ \frac{16,5-x}{0,5}; & 16 \leq x < 16,5, \\ 0; & \text{در غیر این صورت.} \end{cases}$$

بنابراین، مقدار برآورد شده دو شاخص کارایی تابعی جدید به صورت زیر به دست آمده است:

$$\hat{C}_{pm.g}(profile) = 0,6548, \quad \hat{C}_{pmk.g}(profile) = 0,3266$$

بر اساس هر دو شاخص نتیجه می‌شود که فرایند ناکارا است.

۷ نتیجه‌گیری و کارهای آینده

در دنیای واقعی، بسیاری از مفاهیم به صورت نادقیق یا با استفاده از متغیرهای زبانی بیان می‌شوند که برای توصیف آن‌ها، منطق فازی به کار برده می‌شود. در مقاله حاضر، برای فرایندهایی که کیفیت محصولات بر اساس رابطه پروفایل خطی ساده بیان می‌شود، دو شاخص کارایی تابعی مبتنی بر منطق فازی ارائه شده و با استفاده از مطالعه شبیه‌سازی نشان داده شده است که عملکرد بهتری نسبت به شاخص‌های موجود دارند. برای نشان دادن طریقه استفاده و تصمیم‌گیری در خصوص میزان کارایی فرایند، مثال کاربردی ارائه شده است.

تحقیقات آتی در همین راستا، در ارتباط با تعاریف دیگر اعداد/کمیت‌های فازی

خواهد بود. به علاوه، شاخص‌های تابعی دیگری با منطق فازی برای پروفایل‌های خطی ساده یا پروفایل‌های غیرخطی نیز از موضوعاتی است که قابل تحقیق و بررسی هستند.

مراجع

- [1] Draper, N.R., and Smith, H. (2011) Applied Regression Analysis, Third Edition, John Wiley & Sons, Inc.
- [2] Ebadi, M., and Shahriari, H. (2013) A process capability index for simple linear profile, International Journal of Advanced Manufacturing Technology, 64, 857-865.
- [3] Ebadi, M., and Amiri, A. (2012) Evaluation of process capability in multivariate simple linear profiles, Scientia Iranica, Transactions E: Industrial Engineering, 19 (6), 1960-1968.
- [4] Hosseiniard, S.Z., Abbasi, B., and Abdollahian, M. (2011) Performance analysis in non-normal linear profiles using gamma distribution, In 2011 Eighth International Conference on Information Technology: New generations, Las Vegas, NV, USA, 603-607.
- [5] Hosseiniard, S.Z., and Abbasi, B. (2012a) Evaluation of process capability indices of Linear profiles, International Journal of Quality & Reliability Management, 29 (2), 162-176.
- [6] Hosseiniard, S.Z., and Abbasi, B. (2012b) Process capability analysis in non normal linear regression profiles, Communications in Statistics - Simulation and Computation, 41 (10), 1761-1784.
- [7] Kang, L., and Albin, S.L. (2000) On-line monitoring when the process yields a linear profile, Journal of Quality Technology, 32, 418-426.

- [8] Kim, K., Mahmoud, M.A., and Woodall, W.H. (2003) On the monitoring of linear profiles, *Journal of Quality Technology*, 35, 317-328.
- [9] Kunter, M.H., Nachtsheim, C.J., Neter, J., and Li, W. (2005) *Applied linear statistical models*, McGraw-Hill, Boston.
- [10] Mahmoud, M.A., and Woodall, W.H. (2004) Phase I monitoring of linear profiles with calibration application, *Technometrics*, 46, 380-391.
- [11] Mahmoud, M.A., Parker, P.A., Woodall, W.H., and Hawkins, D.M. (2007) A change point method for linear profile data, *Quality and Reliability Engineering International*, 23, 247-268.
- [12] Mestek, O., Pavlik, J., and Suchánek, M. (1994) Multivariate control charts: control charts for calibration curves, *Fresenius' Journal of Analytical Chemistry*, 350, 344-351.
- [13] Nemati Keshteli, R., Baradaran Kazemzadeh, R., Amiri, A., and Noorossana, R. (2014) Developing functional process capability indices for simple linear profile, *Scientia Iranica*, 21 (3), 1044-1050.
- [14] Noorossana, R., Vaghefi, A., and Dorri, M. (2011) Effect of non-normality on the monitoring of simple linear profiles, *Quality and Reliability Engineering International*, 27 (4), 425-436.
- [15] Pakzad, A., Razavi, H., and Sadeghpour Gildh, B. (2021) Developing loss-based functional process capability indices for simple linear profile, *Journal of Statistical Computation and Simulation*, DOI: 10.1080/00949655.2021.1933486.
- [16] Saghaei, A., Mehrjoo, M., and Amiri, A. (2009) A CUSUM-based method for monitoring simple linear profiles, *International of Journal of Advanced Manufacturing Technology*, 45, 1252-1260.

- [17] Shi, L., Chen, W. and Lu, L.F. (2014) An Approach for Simple Linear Profile Gauge R & R Studies, Discrete and Dynamic Optimization Problems in Operations Management, DOI: 10.1155/2014/816980.
- [18] Zou, C. و Zhang, Y. و Wang, Z. (2006) A control chart based on a change-point model for monitoring linear profiles, IIE Transactions, 38, 1093-1103.
- [19] Zou, C. Zhou, C., Wang, Z., and Tsung, F. (2007) A self-starting control chart for linear profiles, Journal of Quality Technology, 39 (4), 364-375.